

С. И. Синеговский

**Астрофизика высоких энергий
2018 г.**

Лекции 8-10

Стохастический механизм ускорения заряженных частиц (1)

$$E_1 \cup E_2 \cup \dots \cup E_i \cup \dots \quad P(E_1 \cup \dots \cup E_i \cup \dots) = \sum_i P(E_i)$$

$$E_1 = E_0 \left(1 + \frac{\Delta E}{E_0} \right), \quad E_2 = E_1(1 + \xi) = E_0(1 + \xi)^2, \quad P(E_1) = w_{01}, \quad P(E_2) = w_{01} \cdot w_{12}, \quad \dots, \quad P(E_k) = \prod_{i=1}^k w_{i-1i} = w^k$$

$$E_{k+1} = E_k(1 + \xi), \quad \text{где} \quad w_{ii+1} = \text{const}, \quad \xi = (E_{k+1} - E_k) / E_k \equiv \langle \Delta E / E \rangle = \text{const}$$

На n-м шаге $E = E_n = E_0 (1 + \xi)^n, \quad n = \ln(E/E_0) / \ln(1 + \xi)$

Интегральный спектр КЛ

$$P(E + \Delta E) = wP(E) = w \cdot w^n = w^{n+1}$$

$$N(> E) = A \sum_{k=n}^{\infty} P(E_k) = A \sum_{k=n}^{\infty} w^k = A \sum_{l=0}^{\infty} w^{l+n} = Aw^n / (1 - w) = \frac{A}{1 - w} w^{\frac{\ln(E/E_0)}{\ln(1+\xi)}},$$

$$N(> E) = \frac{A}{1 - w} \exp\left(\frac{\ln(E/E_0)}{\ln(1 + \xi)} \ln w \right) = \frac{A}{1 - w} \left(\frac{E}{E_0} \right)^{-\alpha}, \quad \text{где} \quad \alpha = -\frac{\ln w}{\ln(1 + \xi)}.$$

Стохастический механизм ускорения заряженных частиц

(2)

Или определив

$$w = \exp(-\tau_{collis} / \tau_{escape})$$

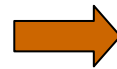
$$n = \ln(E/E_0) / \ln(1 + \xi)$$

$$N(> E) = A \sum_{k=n}^{\infty} \exp(-k\tau_{collis} / \tau_{escape}) = A \exp(-n\tau_{col} / \tau_{esc}) \sum_{m=0}^{\infty} \exp(-m\tau_{col} / \tau_{esc}) = \frac{A \exp(-n\tau_{col} / \tau_{esc})}{1 - \exp(-\tau_{col} / \tau_{esc})}$$

$$N(> E) = \frac{A \exp\left(-\frac{\tau_{col} \ln(E/E_0)}{\tau_{esc} \ln(1 + \xi)}\right)}{1 - \exp(-\tau_{col} / \tau_{esc})} = A \frac{(E/E_0)^{-\alpha}}{1 - \exp(-\tau_{col} / \tau_{esc})}, \quad \alpha = \frac{\tau_{col}}{\tau_{esc} \ln(1 + \xi)} \approx \frac{\tau_{col}}{\tau_{esc} \xi}$$

Для

$$\tau_{col} \ll \tau_{esc}$$



$$N(> E) = A \frac{\tau_{esc}}{\tau_{col}} (E/E_0)^{-\alpha}$$

Дифференциальный спектр КЛ

$$\frac{dN(E)}{dE} = N_0 (E/E_0)^{-(\alpha+1)},$$

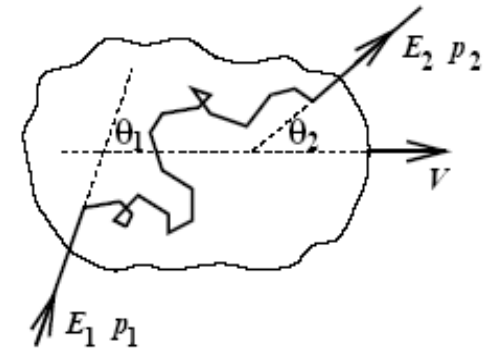
$$N_0 = \frac{A\alpha}{E_0 (1 - \exp(-\tau_{col} / \tau_{esc}))}$$

Механизм Ферми ускорения 2-го порядка (1)

$$E' = \frac{E - \vec{p}\vec{V}}{\sqrt{1 - V^2/c^2}}, \quad p'_x = \frac{p_x - EV_x/c^2}{\sqrt{1 - V^2/c^2}} \quad \beta = \frac{V}{v_{CR}} \approx \frac{V}{c}, \quad \Gamma = 1/\sqrt{1 - \beta^2},$$

$$E'_1 = \Gamma E_1 (1 - \beta \cos \theta_1), \quad E \approx pc.$$

$$E_2 = \Gamma E'_2 (1 + \beta \cos \theta'_2) = \Gamma E'_1 (1 + \beta \cos \theta'_2),$$



$$E_2 = \Gamma^2 E_1 (1 - \beta \cos \theta_1)(1 + \beta \cos \theta'_2) \quad (E'_2 = E'_1 \text{ - упругое взаимодействие})$$

$$\frac{\Delta E}{E_1} = \frac{E_2 - E_1}{E_1} = \frac{E_1(1 - \beta \cos \theta_1)(1 + \beta \cos \theta'_2)}{(1 - \beta^2)E_1} - 1 = \frac{(1 - \beta \cos \theta_1)(1 + \beta \cos \theta'_2)}{(1 - \beta^2)} - 1$$

Угловое распределение по θ'_2 : $\frac{dn}{d \cos \theta'_2} = \text{const} \quad -1 \leq \cos \theta'_2 \leq 1$

Нормировка: $\int_{-1}^1 \frac{dn}{d \cos \theta'_2} d \cos \theta'_2 = 2 \text{const} = 1 \quad \text{const} = 1/2 \quad \frac{dn}{d \cos \theta'_2} = \frac{1}{2} \quad \langle \cos \theta'_2 \rangle_{\theta'_2} = 0$

Угловое распределение по θ_1 определяется частотой столкновения частицы с облаком:

$$\frac{dn}{d \cos \theta_1} = \frac{c - V \cos \theta_1}{2c} = \frac{1 - \beta \cos \theta_1}{2} \quad -1 \leq \cos \theta_1 \leq 1$$

Механизм Ферми ускорения 2-го порядка (2)

Усредним по углам θ_2' и θ_1 выражение $\frac{\Delta E}{E_1} = \frac{1 - \beta \cos \theta_1 + \beta \cos \theta_2' - \beta^2 \cos \theta_1 \cos \theta_2'}{1 - \beta^2} - 1$:

$$\left\langle \frac{\Delta E}{E_1} \right\rangle_{\theta_2'} = \frac{1 - \beta \cos \theta_1}{1 - \beta^2} - 1$$

т. к. $\int_{-1}^1 \frac{\beta \cos \theta_2' - \beta^2 \cos \theta_1 \cos \theta_2'}{1 - \beta^2} d \cos \theta_2' = 0$, то $\xi = \left\langle \left\langle \frac{\Delta E}{E_1} \right\rangle_{\theta_2'} \right\rangle_{\theta_1} = \frac{1 - \beta \langle \cos \theta_1 \rangle_{\theta_1}}{1 - \beta^2} - 1$

$$\langle \cos \theta_1 \rangle_{\theta_1} = \int_{-1}^1 \frac{1 - \beta \cos \theta_1}{2} \cos \theta_1 d \cos \theta_1 = \frac{1}{2} \left(\frac{\cos^2 \theta_1}{2} \Big|_{-1}^1 - \beta \frac{\cos^3 \theta_1}{3} \Big|_{-1}^1 \right) = -\frac{\beta}{3} \quad \Rightarrow \quad \xi = \frac{1 + \beta^2/3}{1 - \beta^2} - 1 = \frac{4}{3} \cdot \frac{\beta^2}{1 - \beta^2}$$

При $\beta \ll 1$ $\xi = \frac{4}{3} \cdot \frac{\beta^2}{1 - \beta^2} \approx \frac{4}{3} \beta^2$

Комментарий к процессу образования УВ (1)

скорость звука $c_s = \sqrt{\frac{\gamma RT}{\mu}},$

число Маха $M = \frac{u}{c_s},$

$$V_T \equiv \sqrt{\langle V^2 \rangle} = \sqrt{\frac{3RT}{\mu}} = (3/\gamma)^{1/2} c_s, \quad \frac{\varepsilon_{\text{kin}}}{\varepsilon} = \frac{u^2}{V_T^2} = \frac{\gamma u^2}{3c_s^2} = \frac{\gamma}{3} M^2. \quad \longrightarrow \quad M = \sqrt{\frac{3\varepsilon_{\text{kin}}}{\gamma\varepsilon}}$$

($\varepsilon = U / m$ – внутр. энергия на ед. массы, ε_{kin} – кин. энергия направленного движ. ед. массы газа)

$M < 1$ - дозвуковое течение газа: ε_{kin} много меньше энергии теплового движения ε ;

$M = 1$ - звуковое течение, $\varepsilon_{\text{kin}} < \varepsilon$;

$1 < M < (3/\gamma)^{1/2}$ (т. е. $\varepsilon_{\text{kin}} < \varepsilon$) - сверхзвуковое течение;

$M > (3/\gamma)^{1/2}$ (т. е. $\varepsilon_{\text{kin}} > \varepsilon$) - сверхзвуковое течение.

Комментарий к процессу образования УВ (2)

Возникающее при движении поршня возмущение распространяется в адиаб. процессе со скоростью звука, температура повышается и новая волна возмущений будет распространяться с большой скоростью и догонять предшествующие волны. Так создается мощная волна сжатия, которую называют ударной волной.

После образования УВ параметры газа (u, ρ, P, T, S) по обе стороны фронта УВ будут иметь различные значения, т.е. фронт представляет поверхность **разрыва** физических величин (меняются скачком). По обе стороны от фронта газ (жидкость) находится в термодинамически однородном состоянии.

Если толщина фронта мала, $\delta h \ll \ell_{\text{scat}}$, то его структура практически не оказывает влияния на движение быстрых частиц по обе стороны УВ.

Но именно в переходном слое УВ происходят необратимые (неравновесные) процессы, приводящие к диссипации энергии и росту энтропии. Этими деталями мы здесь не интересуемся.

Ударные волны

УВ всегда движется из области с высоким давлением в область с меньшим давлением $P_2 > P_1$ (теорема Цемплена).

Разрывы (законы сохранения)

$$\rho_1 u_1 = \rho_2 u_2$$

$$u_1^2 - u_2^2 = -\frac{(P_1 - P_2)(\rho_1 + \rho_2)}{\rho_1 \rho_2}, \text{ ???}$$

$$P_1 + \rho_1 u_1^2 = P_2 + \rho_2 u_2^2$$

$$\varepsilon_1 + \frac{P_1}{\rho_1} + \frac{u_1^2}{2} = \varepsilon_2 + \frac{P_2}{\rho_2} + \frac{u_2^2}{2}$$

Уравнения гидродинамики

$$\frac{\partial \rho}{\partial t} + \vec{\nabla} \cdot (\rho \vec{u}) = 0, \quad (1)$$

уравнение непрерывности

$$\frac{\partial \vec{u}}{\partial t} + (\vec{u} \cdot \vec{\nabla}) \vec{u} = -\frac{\vec{\nabla} P}{\rho}, \quad (2)$$

уравнение Эйлера

$$\frac{\partial}{\partial t} \left(\frac{\rho u^2}{2} + \rho \varepsilon \right) = -\vec{\nabla} \cdot \left[\rho \vec{u} \left(\frac{u^2}{2} + \varepsilon + \frac{P}{\rho} \right) \right]. \quad (3)$$

уравнение потока энергии

Ударная адиабата (Ренкина – Гюгоньо)

$$P_1 - P_2 = \rho_1 u_1^2 (\rho_1 / \rho_2 - 1) \Rightarrow u_1^2 = \frac{\rho_2}{\rho_1} \frac{P_1 - P_2}{\rho_1 - \rho_2}, \quad u_2^2 = \frac{\rho_1}{\rho_2} \frac{P_1 - P_2}{\rho_1 - \rho_2}, \quad u_1^2 - u_2^2 = -\frac{(P_1 - P_2)(\rho_1 + \rho_2)}{\rho_1 \rho_2},$$

$$\varepsilon_1 - \varepsilon_2 = \frac{(P_1 + P_2)(\rho_1 - \rho_2)}{2\rho_1 \rho_2} \quad \text{или} \quad h_1 - h_2 = \frac{(P_1 - P_2)(\rho_2 + \rho_1)}{2\rho_1 \rho_2}, \quad \text{где} \quad h = \varepsilon + P / \rho.$$

$$\rho_2 > \rho_1, \quad u_2 < u_1.$$

$$c_{s1}^2 \leq \frac{P_2 - P_1}{\rho_2 - \rho_1} \leq c_{s2}^2 \Rightarrow \frac{\rho_2}{\rho_1} c_{s1}^2 < \frac{\rho_2}{\rho_1} \left(\frac{P_2 - P_1}{\rho_2 - \rho_1} \right) = u_1^2 \xrightarrow{\rho_2 / \rho_1 > 1} u_1 > c_{s1} \quad (\text{сверхзвуковое течение перед фронтом УВ})$$

Аналогично $u_2 < c_{s2}$ (дозвуковое течение за фронтом УВ)

Полезные формулы и ссылки

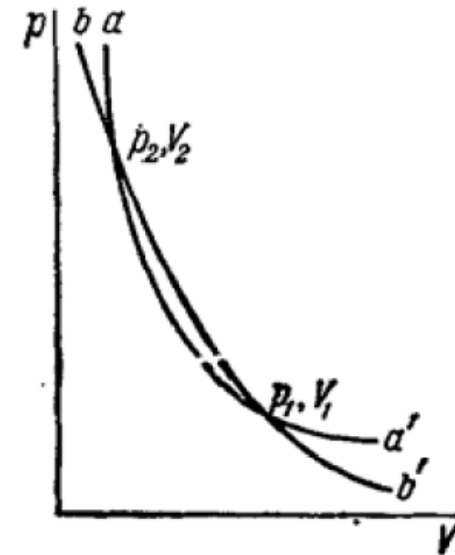
$j = \rho_1 u_1 = \rho_2 u_2$ – плотность потока газа через фронт УВ

$$P_1 + \rho_1 u_1^2 = P_2 + \rho_2 u_2^2 \quad \Rightarrow \quad j^2 = \frac{(P_2 - P_1)\rho_1\rho_2}{\rho_2 - \rho_1} = \frac{P_2 - P_1}{\tilde{V}_1 - \tilde{V}_2}$$

$$\tilde{V}_1 = 1/\rho_1, \quad \tilde{V}_2 = 1/\rho_2$$

Ударная адиабата

$$\varepsilon_1 - \varepsilon_2 = \frac{(P_1 + P_2)(\rho_1 - \rho_2)}{2\rho_1\rho_2} = \frac{1}{2}(P_1 + P_2)(\tilde{V}_2 - \tilde{V}_1)$$



Ударные волны в политропном газе

Покажем $\sigma = \frac{\rho_2}{\rho_1} = \frac{u_1}{u_2} = \frac{(\gamma+1)M_1^2}{(\gamma-1)M_1^2 + 2}$, где $M_1 = \frac{u_1}{c_{s1}}$ - число Маха.

$$P = \frac{\rho}{\mu} RT, \quad \varepsilon = \frac{P}{\rho(\gamma-1)} \implies \varepsilon_1 + \frac{P_1}{\rho_1} + \frac{u_1^2}{2} = \varepsilon_2 + \frac{P_2}{\rho_2} + \frac{u_2^2}{2} \implies \frac{\gamma}{\gamma-1} \left(\frac{P_2}{\rho_2} - \frac{P_1}{\rho_1} \right) = \frac{u_1^2 - u_2^2}{2}$$

$$\frac{\gamma}{\gamma-1} \left(\frac{P_2}{\rho_2} - \frac{P_1}{\rho_1} \right) = \frac{u_1^2 - u_2^2}{2} \xrightarrow{P_1 + \rho_1 u_1^2 = P_2 + \rho_2 u_2^2} \frac{\gamma}{\gamma-1} \left(\frac{P_1 + \rho_1 u_1^2 - \rho_2 u_2^2}{\rho_2} - \frac{P_1}{\rho_1} \right) = \frac{u_1^2}{2} (1 - 1/\sigma^2)$$

$$\frac{\gamma}{\gamma-1} \left[\frac{P_1}{\rho_1} \left(\frac{1}{\sigma} - 1 \right) + u_1^2 \left(\frac{1}{\sigma} - \frac{1}{\sigma^2} \right) \right] = \frac{u_1^2}{2} \left(1 - \frac{1}{\sigma^2} \right) \xrightarrow{c_{s1}^2 = \gamma(P_1/\rho_1)} -\frac{1}{\gamma-1} \frac{\sigma-1}{\sigma} + \frac{\gamma M_1^2}{\gamma-1} \frac{\sigma-1}{\sigma^2} = \frac{M_1^2}{2} \frac{\sigma^2 - 1}{\sigma^2}$$

$$\sigma = \frac{(\gamma+1)M_1^2}{(\gamma-1)M_1^2 + 2}$$

$$\sigma = \frac{\gamma+1}{\gamma-1 + 2/M_1^2} \xrightarrow{\gamma=5/3} \sigma = \frac{4}{1 + 3/M_1^2} \xrightarrow{M_1 \gg 1} \sigma \approx 4 \left(1 - \frac{3}{M_1^2} \right)$$

При $M_1 \gg 1$ и $\gamma = 4/3$ (доминирующий вклад излучения) имеем $\sigma = \frac{\rho_2}{\rho_1} = \frac{P_2}{P_1} \approx \frac{\gamma+1}{\gamma-1} = 7$

против $\sigma \approx 4$ (нерелятивистский газ)

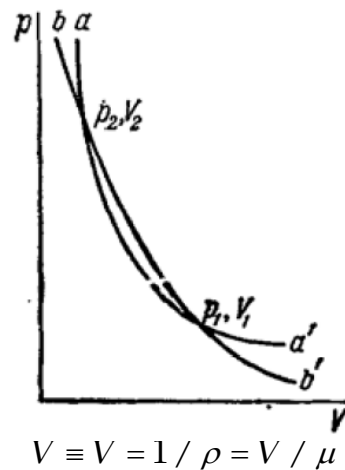
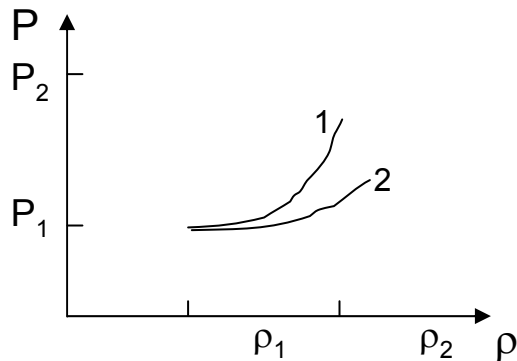
особое поведение УВ

Ударная адиабата в политропном газе

$$\sigma = \frac{\rho_2}{\rho_1} = \frac{u_1}{u_2} = \frac{(\gamma + 1)M_1^2}{(\gamma - 1)M_1^2 + 2}, \quad M_1 = \frac{u_1}{c_{s1}} \text{ - число Маха} \quad \varepsilon = \frac{P}{\rho(\gamma - 1)} \quad \longrightarrow \quad \varepsilon_2 - \varepsilon_1 = \frac{(P_1 + P_2)(\rho_2 - \rho_1)}{2\rho_1\rho_2}$$

$$\frac{P_2}{P_1} = \frac{(\gamma + 1)\rho_2 - (\gamma - 1)\rho_1}{(\gamma + 1)\rho_1 - (\gamma - 1)\rho_2} \quad \longleftrightarrow \quad \frac{\rho_2}{\rho_1} = \frac{(\gamma + 1)P_2 + (\gamma - 1)P_1}{(\gamma - 1)P_2 + (\gamma + 1)P_1} \quad (7)$$

1 - ударная адиабата (Гюгоньо)
2 - адиабата Пуассона $P\rho^{-\gamma} = \text{const}$



$$\left(\frac{\rho_2}{\rho_1} \right)_{\max} = \frac{\gamma + 1}{\gamma - 1}, \quad P_1 / P_2 \rightarrow 0.$$

Отличие УА от АП:

АП – однопараметрическое семейство кривых $f(p, \rho) = \text{const}$;

УА определяется заданием двух параметров – P_1, ρ_1

УВ движется со сверхзвуковой скоростью, поэтому возмущения из области за фронтом (2) не проникают в область перед ФУВ (1) и не влияют на состояние вещества там, и наоборот. Вместе со скачком P и ρ в УВ терпят разрыв температура и энтропия. Необратимость движения УВ обеспечивается процессами в тонком слое вблизи ФУВ и означает диссипацию энергии, т.е. возрастание энтропии в физических УВ. Разрывы параметров на ФУВ – это механизм, приводящий к диссипации энергии при движении идеальной жидкости .

Разработчики диффузионного механизма ускорения частиц ударной волной (Ферми 1-го порядка)

Е.Г. Бережко, Г.Ф. Крымский, УФН 1988. Т. 154. С. 49.

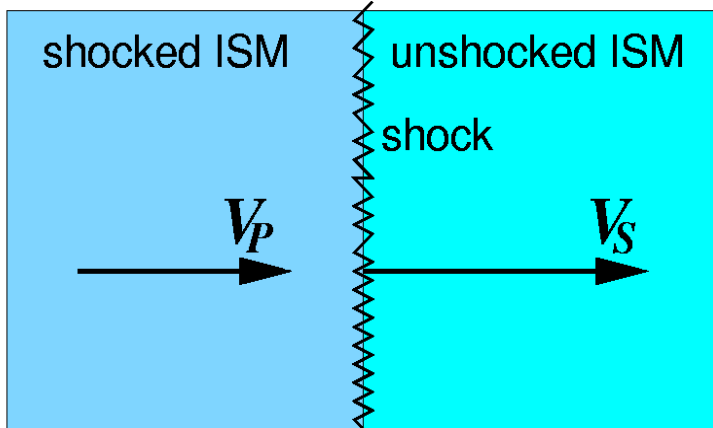
W.I. Axford et al. 15 ICRC, Plovdiv. 1977 V. 1. P. 132.

A.R. Bell, MNRAS 1978. V. 182. P. 147; P.443.

R.D. Blandford, J. R. Ostriker, ApJ 1978. V.221.P. L29

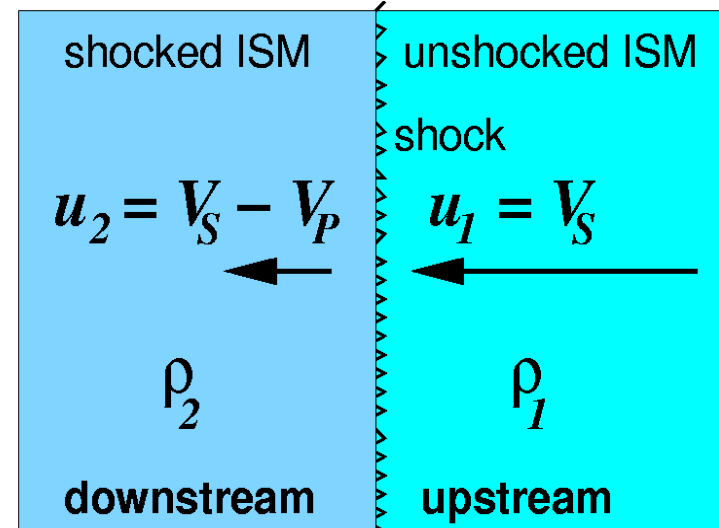
Система, где неподвижен газ МЗС (сопутствующая)

(a) Upstream frame

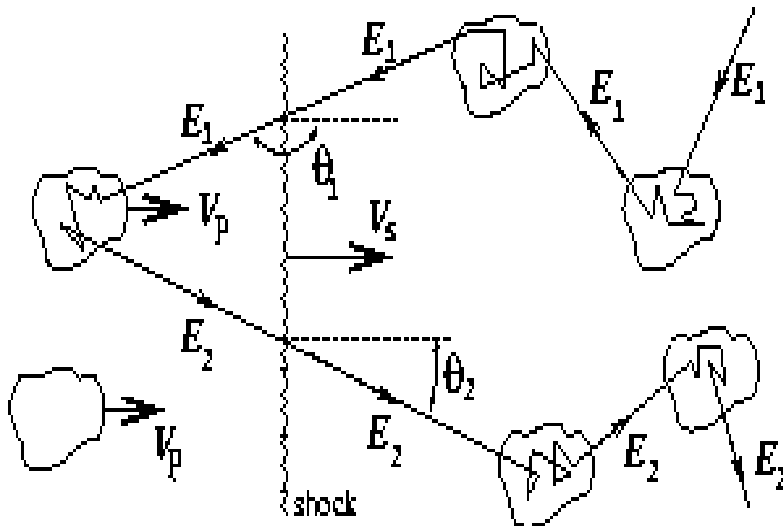


Система фронта УВ

(b) Shock frame



Диффузионный механизм - это ускорение заряженных частиц в результате многократного пересечения фронта УВ:



$$\left\langle \left\langle \frac{\Delta E}{E} \right\rangle \right\rangle_{\theta_2, \theta_1} \cong \frac{4}{3} \frac{u_1 - u_2}{c} = \frac{4}{3} \frac{V_P}{c} = \frac{4}{3} \beta$$

$$\sigma = \frac{\rho_2}{\rho_1} = \frac{u_1}{u_2} \approx \frac{C_P / C_V + 1}{C_P / C_V - 1} \quad \text{или} \quad \sigma = \frac{V_S}{V_S - V_P}$$

Диффузионный механизм (Ферми 1-го порядка)

Обозначения: V_S – скорость фронта УВ, $\vec{V}_P = \vec{u}_1 - \vec{u}_2$ – скорость “поршня”,

u_1 – скорость течения газа перед фронтом, u_2 – скорость течения за фронтом ;

В системе фронта УВ: $V_S = u_1$, $u_2 = V_S - V_P$, $M_1 = u_1 / c_{s1}$, $\beta = \frac{u_1 - u_2}{c} = \frac{V_P}{c}$

Распределения по углам θ_2' и θ_1 для плоского фронта:

$$\frac{dn}{d \cos \theta_2'} = 2 \cos \theta_2' \quad 0 \leq \cos \theta_2' \leq 1$$

$$\frac{dn}{d \cos \theta_1} = -2 \cos \theta_1 \quad -1 \leq \cos \theta_1 \leq 0$$

$$\frac{\Delta E}{E_1} = \frac{1 - \beta \cos \theta_1 + \beta \cos \theta_2' - \beta^2 \cos \theta_1 \cos \theta_2'}{1 - \beta^2} - 1, \quad 2 \int_0^1 \cos \theta_2' \cos \theta_2' d \cos \theta_2' = \frac{2}{3} \left(\cos \theta_2' \right)^3 \Big|_0^1 = \frac{2}{3}$$

$$\left\langle \frac{\Delta E}{E_1} \right\rangle_{\theta_2'} = \frac{1 - \beta \cos \theta_1 + \frac{2}{3} \beta - \frac{2}{3} \beta^2 \cos \theta_1}{1 - \beta^2} - 1, \quad -2 \int_{-1}^0 \cos \theta_1 \cos \theta_1 d \cos \theta_1 = -\frac{2}{3} \left(\cos \theta_1 \right)^3 \Big|_{-1}^0 = -\frac{2}{3}$$

$$\xi = \left\langle \left\langle \frac{\Delta E}{E_1} \right\rangle_{\theta_2'} \right\rangle_{\theta_1} = \frac{1 + \frac{2}{3} \beta + \frac{2}{3} \beta + \frac{2}{3} \cdot \frac{2}{3} \beta^2}{1 - \beta^2} - 1 = \frac{1 + \frac{4}{3} \beta + \frac{4}{9} \beta^2}{1 - \beta^2} - 1 \approx 1 + \frac{4}{3} \beta - 1 = \frac{4}{3} \beta$$

Диффузия вблизи фронта УВ

$$\alpha = \frac{\tau_{col}}{\tau_{esc} \ln(1 + \xi)} \approx \frac{\tau_{col}}{\tau_{esc} \xi}, \quad w = \exp(-\tau_{collis} / \tau_{escape})$$

α - спектральный индекс КЛ,
 γ - индекс адиабаты Пуассона.

$$w + w_{esc} = 1, \quad w_{esc} = 1 - w = 1 - \exp(-\tau_{col} / \tau_{esc}) \approx \frac{\tau_{col}}{\tau_{esc}}$$

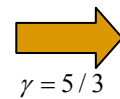
$$\alpha \approx \frac{w_{esc}}{\xi}, \quad \xi \approx \frac{4}{3} \beta = \frac{4}{3} \frac{u_1 - u_2}{c}$$

$$j_{CR} = \int_0^1 d \cos \theta \int_0^{2\pi} d\varphi \cdot n_{CR} \cdot c \cdot \cos \theta = \frac{1}{4} n_{CR} c, \quad j_{esc} = n_{CR} u_2,$$

$$w_{esc} = \frac{j_{esc}}{j_{CR}} = \frac{n_{CR} u_2}{n_{CR} c / 4} = 4 \frac{u_2}{c} \ll 1.$$

**степень
сжатия**

$$\sigma = \frac{u_1}{u_2} = \frac{(\gamma + 1)M_1^2}{(\gamma - 1)M_1^2 + 2}$$



$$\alpha(\sigma) = \frac{4u_2}{c\xi} = \frac{3u_2}{u_1 - u_2} = \frac{3}{\sigma - 1} = \frac{M_1^2 + 3}{M_1^2 - 1} \approx 1 + \frac{4}{M_1^2}$$

$$\sigma = \frac{4}{1 + 3/M_1^2}, \quad \frac{\sigma - 1}{3} = \frac{1 - 1/M_1^2}{1 + 3/M_1^2}$$



$$\alpha(\sigma) = \frac{1 + 3/M_1^2}{1 - 1/M_1^2} \approx 1 + 4/M_1^2 + 1/M_1^4$$

$$t_1 = \frac{I}{j_{CR}} = \frac{n_{CR} D_1 / u_1}{c n_{CR} / 4} = \frac{4D_1}{c u_1}$$

**диффузия
Бома**

$$D_{min} = \frac{1}{3} l_D c \Big|_{l_D=r_g} = \frac{1}{3} r_g c = \frac{pc^2}{3qB} \approx \frac{Ec}{3qB} \quad (q = Ze)$$

$$e = 1.6 \cdot 10^{-19} \text{ Кл}$$

$$r_g = pc / (qB)$$



$$pc / \Gamma \Delta B \approx 0.3Z(B / \text{Тл}) (r_g / \text{м})$$

$$B_2 = \sigma B_1$$

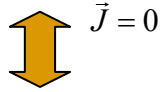
$$\tau_{col} = t_1 + t_2 = \frac{4}{c} \left(\frac{D_1}{u_1} + \frac{D_2}{u_2} \right),$$

$$pc \approx 300Z(B / \text{Гс})(r_g / \text{см}) \text{ эВ}$$

$$1 \text{ Тл [В·сек·м}^{-2}] = 10^4 \text{ Гс}$$

Оценка времени цикла

$\vec{J} = -D\vec{\nabla}n + n\vec{u}$ - диффузия с учетом конвективного сноса частиц



$D\vec{\nabla}n = n\vec{u}$ - плотность потока частиц ~ градиенту концентрации

Для области перед плоским фронтом уравнение диффузии имеет вид

$$D_1 \frac{dn}{dx} = -u_1 n \quad \longrightarrow \quad n(x) = n_{CR} \exp(-u_1 x / D_1)$$

Полное число частиц, падающих на един. площадку $I = \int_0^\infty n(x) dx = n_{CR} D_1 / u_1 = j_{CR} t_1$

Отсюда $t_1 = \frac{I}{j_{CR}} = \frac{n_{CR} D_1 / u_1}{c n_{CR} / 4} = \frac{4 D_1}{c u_1}$; также $t_2 = \frac{4 D_2}{c u_2}$

где $j_{CR} = c n_{CR} / 4$ – проекция изотропного потока КЛ на плоскость фронта УВ.

$$\tau_{col} = t_1 + t_2 = \frac{4}{c} \left(\frac{D_1}{u_1} + \frac{D_2}{u_2} \right),$$

(Более подробно о диффузии и диффузионном пробеге см. лекции 9,10 - бумажные тексты)

Оценка максимальной энергии (1)

$$\frac{dE}{dt} = \frac{\xi E}{\tau_{col}}, \quad \xi \approx \frac{4}{3} \beta = \frac{4}{3} \frac{u_1 - u_2}{c}, \quad \tau_{col} = t_1 + t_2 = \frac{4}{c} \left(\frac{D_1(E)}{u_1} + \frac{D_2(E)}{u_2} \right).$$



$$t_A = \int_0^{t_A} dt = \int_{E_0}^{E_{\max}} \frac{dE}{E} \frac{\tau_{col}}{\xi} = \frac{3}{u_1 - u_2} \int_{E_0}^{E_{\max}} \frac{dE}{E} \left(\frac{D_1(E)}{u_1} + \frac{D_2(E)}{u_2} \right)$$

Бомова диффузия

$$D(E) \longrightarrow D_{\min} = \frac{1}{3} l_D c \Big|_{l_D=R_g} = \frac{1}{3} r_g c = \frac{pc^2}{3qB} \approx \frac{Ec}{3qB}$$



МГД разрыв $B_2 = \sigma B_1 = \frac{u_1}{u_2} B_1 \longrightarrow u_2 B_2 = u_1 B_1$



$$t_A = \frac{c}{u_1 - u_2} \int_{E_0}^{E_{\max}} \frac{dE}{E} \left(\frac{1}{u_1 B_1} + \frac{1}{u_2 B_2} \right) E = \frac{2c}{Ze(u_1 - u_2)u_1 B_1} \int_{E_0}^{E_{\max}} dE = \frac{2c(E_{\max} - E_0)}{q(u_1 - u_2)u_1 B_1}$$

$$(q = Ze)$$

Оценка максимальной энергии (2)

($q = Ze$)

$$t_A = \frac{c}{u_1 - u_2} \int_{E_0}^{E_{\max}} \frac{dE}{E} \left(\frac{1}{u_1 B_1} + \frac{1}{u_2 B_2} \right) \frac{E}{Ze} = \frac{2c}{Ze(u_1 - u_2)u_1 B_1} \int_{E_0}^{E_{\max}} dE = \frac{2c(E_{\max} - E_0)}{q(u_1 - u_2)u_1 B_1}$$

$$u_1 B_1 = u_2 B_2$$

$$E_{\max} \gg E_0$$

$$t_A = \frac{2cE_{\max}}{(u_1 - u_2)u_1 B_1 Ze}$$

$$E_{\max} \leq \frac{Ze}{2c} (u_1 - u_2) B_1 u_1 t_A = \frac{u_1}{2c} \left(1 - \frac{1}{\sigma} \right) (B_1 q) (u_1 t_A),$$

$$M_{\text{eject}} = \frac{4\pi}{3} (V_S t_A)^3 \rho_{\text{ISM}} \approx 10 M_{\odot}, \quad V_S = u_1 = 5 \cdot 10^8 \text{ см/с}, \quad \rho_{\text{ISM}} = m_p n_p = 1.67 \cdot 10^{-24} \text{ гсм}^{-3},$$

$$t_A \approx 3 \cdot 10^{10} \text{ с},$$

$$\sigma \approx 4,$$

$$B_1 \approx 3 \cdot 10^{-6} \text{ Гс}$$

$$M_{\text{eject}} \frac{u_1^2}{2} = E_{\text{SN}}.$$

$$pc(\text{ГэВ}) \approx 300 B r_g (\text{Гс} \cdot \text{м})$$

$$\frac{B}{\text{Гс}} = \frac{1}{300} \frac{\text{эВ}}{\text{см} \cdot Z}.$$

$$E_{\max} \leq 84 Z \text{ ТэВ}$$

Энергии выше 100 ТэВ

Чтобы достичь более высоких энергий необходимы:

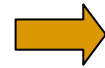
- более интенсивные магнитные поля
 - меньшие (?) коэффициенты диффузии
 - большие скорости УВ (точнее $u_1 - u_2$) и скорости эжекты СН
 - более благоприятные конфигурации магнитных полей
- $B_{\parallel} \rightarrow B_{\perp} \rightarrow 10 \text{ ПэВ}$
- учет нелинейных эффектов

Стадии разлета сброшенной оболочки (эжекты)

$$D_{\min} = \frac{1}{3} l_D c \Big|_{l_D=R_g} = \frac{1}{3} R_g c = \frac{pc^2}{3Bq} \approx \frac{Ec}{3Bq} \quad (q = Ze) \quad E_{\max} \leq \frac{Zq}{2c} (u_1 - u_2) B_1 u_1 t_A = \frac{u_1}{2c} \left(1 - \frac{1}{\sigma}\right) (B_1 q) (u_1 t_A),$$

сферическая УВ

$$D(E) \leq 0.1 u_1 R$$



$$E_{\max} = Z \frac{B_1}{10^{-6} \text{ Гс}} \frac{R}{3 \text{ пк}} \frac{u_1}{3000 \text{ кмс}^{-1}} 10^{13} \text{ эВ} \quad \left. \begin{array}{l} R=5 \text{ пк} \\ u=5 \cdot 10^3 \text{ км/с} \\ B=3 \text{ мкГс} \end{array} \right\} \approx 80 \text{ ТэВ}$$

$$D_{\max}(E) \approx 10^{28} (W_{51} / n)^{2/5} \text{ см}^2 \text{ с}^{-1} \quad (W \text{ (эрг) - кин. энергия взрыва СН, } W_{51} = W / 10^{51})$$

(в начале стадии Седова)

(на стадии 1 максим. скорости УВ - 20-30 тыс. км/с.)

1. Стадия свободного разлета, 10-300 лет – вся энергия взрыва в эжекте, в УВ – небольшая часть энергии (высокоскоростная компонента).

Закон расширения - автомодельное решение Шевалье-Надежина:

$$R \sim t^{1-3/k} \text{ (однородная среда)} \text{ и } R \sim t^{(k-3)/(k-2)} \text{ (звездный ветер), } k \approx 6 \div 9 \text{ .}$$

2. Стадия Седова, $10^3 - 10^5$ лет – эжекта затормозилась и передала всю энергию УВ.

Аutomодельное решение Седова: $R \sim t^{2/5}$ ($k=5$) (однородная среда) и

$$R \sim t^{2/3} \text{ (звездный ветер).}$$

3. Радиационная стадия – потери энергии на излучение приводят к плотной оболочке за фронтом УВ и к неэффективному ускорению КЛ .

Приближение магнитной гидродинамика (МГД)

1) $v \sim V / L \ll \omega_g \ll \omega_{\text{coll}}$, $\omega_g = eB / (mc)$, ν - характерные частоты

2) высокая электропроводность среды: $\sigma \gg \nu$, $\sigma = 2\pi ne^2 / (m\omega_{\text{coll}})$

$$\omega_{\text{coll}} = \pi \lambda_i^2 n V_T, \quad \lambda_i = e^2 / (3kT) \implies \omega_{\text{coll}} = \pi (e^2 / 3kT)^2 n V_T \sim n T^{-3/2};$$

$$\sigma \approx (kT)^{3/2} / (e^2 \sqrt{m}) \approx 3 \cdot 10^8 T^{3/2} \text{c}^{-1}$$

В обычной гидродинамике несжимаемых жидкостей **НЕТ** волновых решений. Звуковые волны (продольные колебания) возникают только в сжимаемой среде. Поперечные волны запрещены теоремой Кельвина, так как они связаны с переносом циркуляции в жидкости.

В МГД несжимаемых жидкостей **МОГУТ** возникать альвеновские волны - МГД-волны. Они распространяются со скоростью $v_a = B_0 / \sqrt{4\pi\rho}$ вдоль магнитных силовых линий во взаимно противоположных направлениях (без дисперсии).

МГД-волна – поперечная: возмущения скорости $\delta\mathbf{v}$ и магнитного поля $\delta\mathbf{B}$ перпендикулярны к направлению распространения волны и связаны соотношением

$$\delta\vec{v} = -\delta\vec{B} / \sqrt{4\pi\rho}.$$

Эффект Белла - усиление магнитного поля ОСН

Ток частиц, ускоряемых УВ, может привести к изменению дисперсионного соотношения для МГД волн : КЛ влияют на плазму через силу Лоренца

$$F_L = \frac{1}{c} [\vec{J}_{CR} \times \vec{B}]$$

Для $\vec{J}_{CR} \parallel \vec{B}_0$ дисперсионное соотношение для альвеновских волн вдоль поля

имеет вид $\omega^2 = v_a^2 k^2 - J_{CR} \frac{B_0 k}{c \rho}$, где $v_a = \frac{B_0}{\sqrt{4\pi\rho}}$ - альвеновская скорость.
 ($\omega_a < \omega_{B_0} = eB_0 / (m_{ion} c)$) (Н. Alfven, 1942)

При $\omega^2 < 0$. т. е. $k < k_0$, $k_0 = \frac{4\pi J_{CR}}{c B_0}$ (из условия $\omega_{KM B_0} \cong \frac{4\pi}{c} j_{CR}$,
 $\gamma_M = k_M v_A$ $k_{MFL} = \xi_{CR} \frac{1}{\Lambda} \left(\frac{v_{sh}}{v_A}\right)^2 \left(\frac{v_{sh}}{c}\right) \gg 1$ $\Lambda = \ln\left(\frac{p_{max}}{m_p c}\right)$)

возникает **неустойчивость**, приводящая к экспоненциальному расширению магнитной спирали в плоскости, перпендикулярной среднему магнитному полю.

Неустойчивость насыщается когда F_L становится сравнимой с силой натяжения силовых линий вмороженного в плазму магнитного поля:

$$kB \sim \frac{4\pi}{c} J_{CR} .$$

Используя гирорадиус как масштаб, находят усиление магнитного поля:

$$\frac{B^2}{4\pi} \sim 3 \frac{u}{c} P_{CR} = \frac{u}{c} \frac{\rho u^2 / 2}{\ln(E_{max} / mc^2)},$$

(P_{CR} - парциальное давление частиц КЛ с энергией вблизи E_{max})

Нелинейный эффект позволяет достичь в ОСН энергий $\sim 10^{17}$ эВ.

Спектр частиц, ускоренных в источниках

Диффузионный механизм - стохастическое ускорение на фронтах ударных волн

$$\frac{dE}{dt} = \xi(E) Z e c^2 B \quad \xi^\varepsilon = \left\langle \frac{\Delta E}{E} \right\rangle \cong \frac{4}{3} \frac{u_1 - u_2}{c} = \frac{4}{3} \beta$$

Спектр протонов в источнике

$$\frac{dN_p}{dE} \cong C \left(\frac{E}{E_0} \right)^{-(2+4c_s^2/V_S^2)} \propto E^{-\alpha}, \alpha \cong 2 + \varepsilon$$

Ультррелятивистские ударные волны

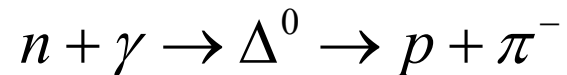
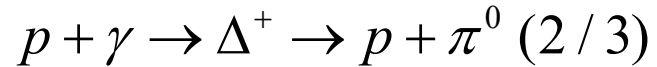
УВ c $\Gamma \sim 10^3$

$$E_p = \Gamma m_p,$$

$$E = \Gamma E_p (1 + \cos \theta) \approx \Gamma^2 m_p \quad \longrightarrow \quad E \approx \Gamma^4 m_p \Big|_{\Gamma=10^3} \approx 10^{12} \text{ ГэВ}$$

Конверсионный механизм ускорения частиц

УФН 2007. Т.177, № 3. С. 323



Незаряженная частица отцепляется от УВ в момент t_1 (нейтрон), и движется прямолинейно до момента превращения в заряженную в момент t_2 . За это время частица обгоняет фронт УВ на некоторое расстояние, так что имеется достаточный запас времени, чтобы развернуться в магнитном поле прежде, чем она будет вновь подхвачена ударной волной (момент t_3). Фронт УВ в соответствующие моменты времени – (1), (2), (3).

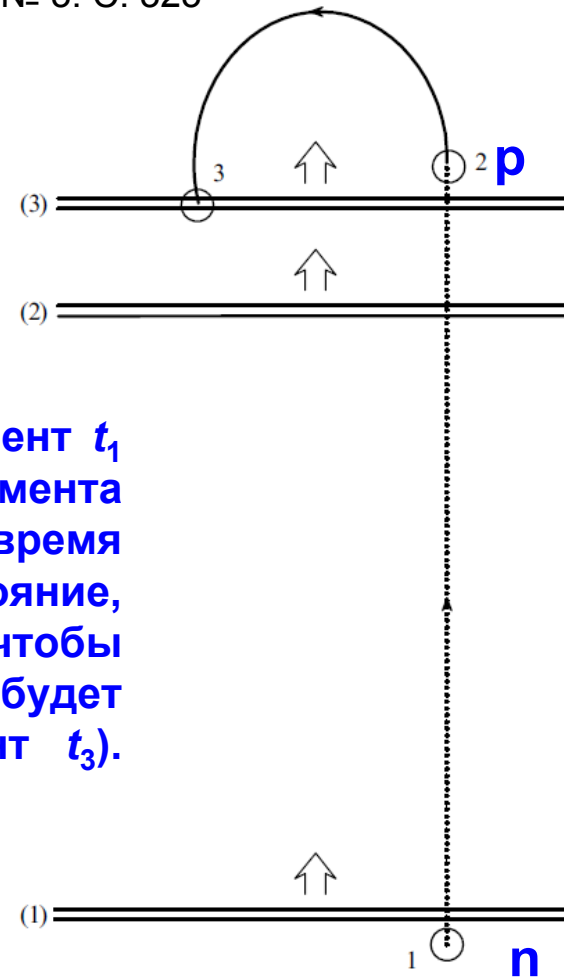


График Хилласа (p, Fe)

$$E_{\max} \sim Ze \cdot B \cdot r_g \quad R \geq r_g$$

$$E_{\max} = 7.7 \cdot 10^{21} \left(\frac{B}{10^6 G} \right) \left(\frac{R}{10^{13} cm} \right) \text{эВ} =$$

$$= 2.2 \cdot 10^{18} \left(\frac{B}{\mu G} \right) \left(\frac{R}{1 \text{кпк}} \right) \text{эВ}$$

$$r_g \approx \frac{1}{Z} \frac{E_{18}}{B_{-6}} \text{кпк}$$

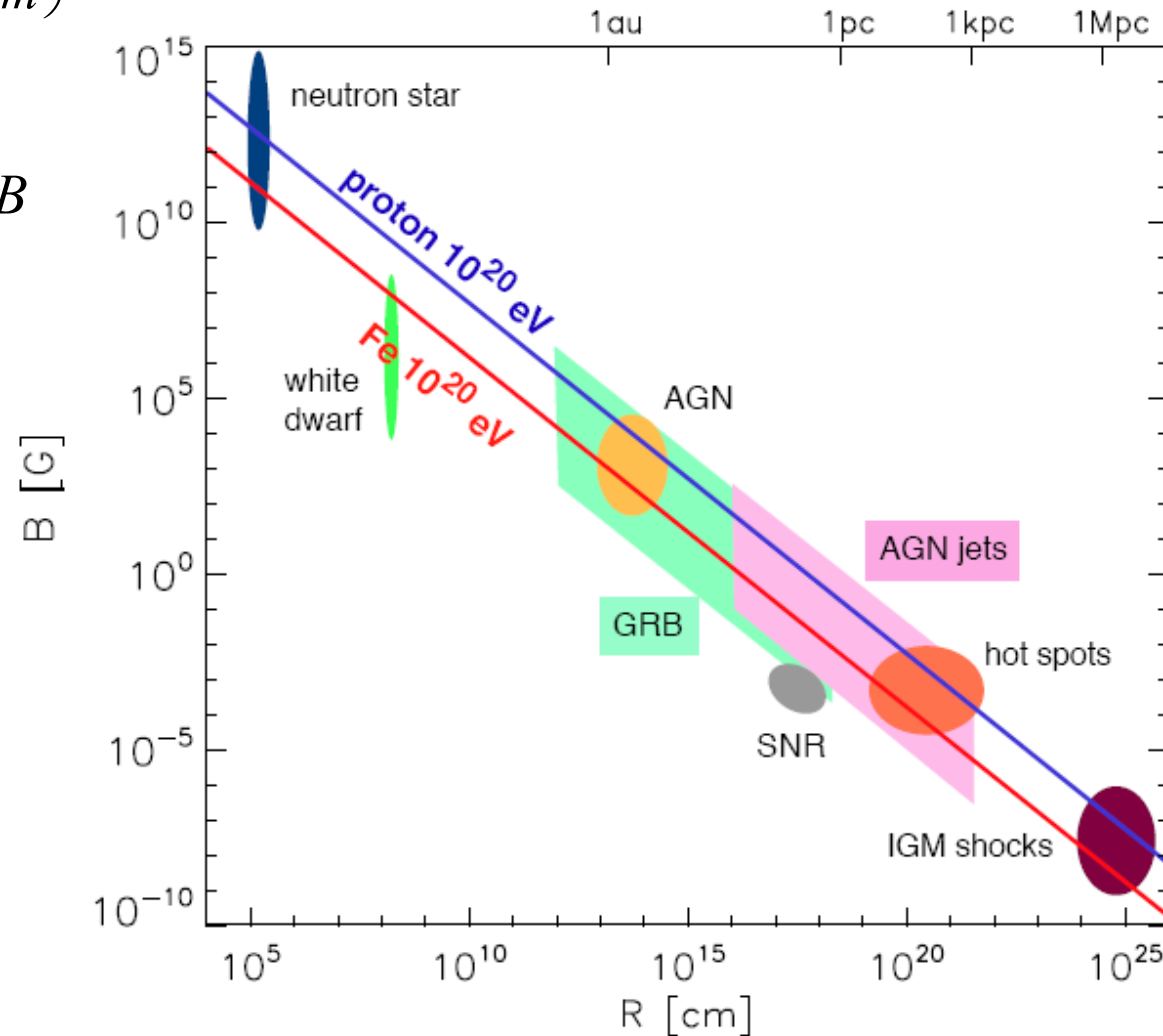


График Хилласа для протона

arXiv:1701.03731v1

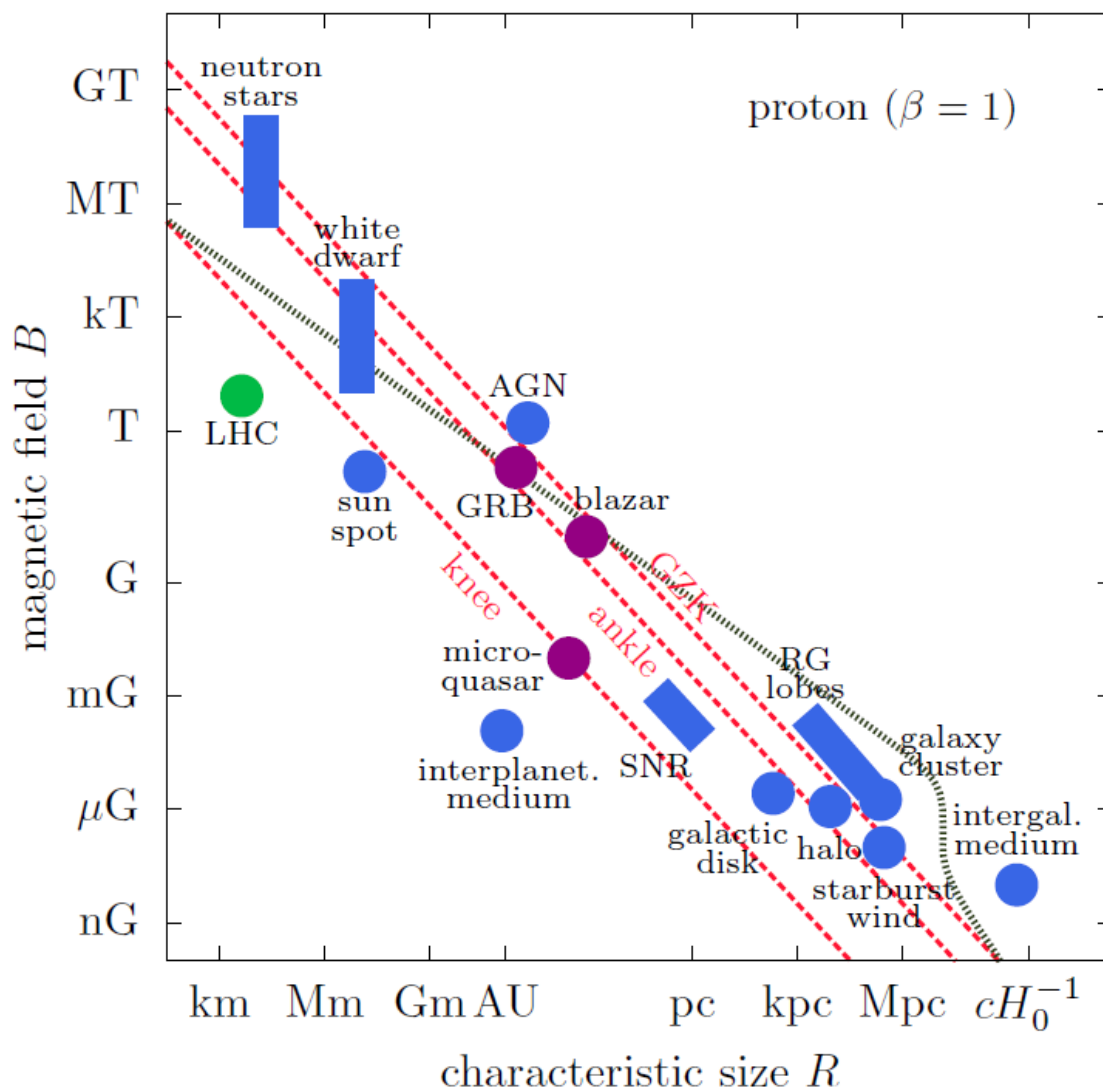


График Хилласа (Hillas plot) показывает верхние пределы энергии частиц космических лучей, достижимые в области ускорения размером $L \sim r_g$ и магнитным полем B . Красные линии – энергии ГЗК, колена (knee) и лодыжки (ankle). Серый пунктир - предел, возникающий от потерь энергии на синхротронное излучение в источниках и взаимодействие с реликтовым излучением.

The End